

Ульев Л.М.

ОСОБЕННОСТИ ЛАМИНАРНОГО ТЕЧЕНИЯ В СЕКТОРИАЛЬНОМ ДИФФУЗОРЕ С ПЕРЕМЕННОЙ ШИРИНОЙ ВДОЛЬ КАНАЛА

Национальный технический университет «Харьковский политехнический институт»

Введение

Изучение ламинарных течений в каналах различной геометрии является одной из фундаментальных задач гидродинамики, так как на его основе проводится исследование ряда других проблем, возникающих при создании устройств и аппаратов в различных отраслях промышленности.

В работах [1,2] автором решены задачи медленного диффузорного течения в соосном канале, образованном коническими поверхностями с общей вершиной и в соосном коническом канале постоянной ширины. В работах [3,4] исследовалось ползущее медленное диффузорное течение в соосных конических каналах переменной ширины в случае, когда границы не имеют общей вершины.

Но в практических приложениях бывают случаи, когда различием в кривизне и самой кривизной граничных поверхностей можно пренебречь, и, благодаря этому, мы можем рассматривать течение в кольцевом коническом канале, как течение в секториальном канале (рис. 1). Изучению указанного течения и посвящается предлагаемая работа.

В дальнейшем, анализируя течения в таких каналах, мы будем рассматривать секториальные течения, отмечать их особенности и сравнивать эти особенности с особенностями, выявленными при анализе течений в соосных конических каналах с помощью биконических координат. Заметим, что это необходимо сделать еще и потому, что радиальные течения в секториальных каналах могут представлять самостоятельный интерес. Предельным случаем такого течения является радиальное течение между параллельными плоскостями.

Математическая постановка задачи и ее решение

Если соосный кольцевой канал образован коническими поверхностями с углом раскрытия α для внешней из них и ограничен радиальными координатами R_0 и R_1 , отсчитываемыми от вершины внешнего конуса, то разворот такого канала будет представлять собой часть цилиндрического сектора с углом раскрытия $\varphi = 2\pi\sin\alpha$ и ограниченного радиусами R_0 и R_1 (рис. 1).

Течение жидкости в таком канале удобно описывать в цилиндрической системе координат, связанной с геометрией канала (рис 1 б). Как и раньше, мы предполагаем, что течение в соосном коническом канале аксиально-симметричное, поэтому при его аппроксимации течением в плоском расширяющемся канале постоянной ширины мы будем рассматривать радиальное и аксиально-симметричное течение во всем диапазоне изменения угловой координаты $\varphi = [0 \dots 2\pi\sin\alpha]$. Действительно, мы как бы разрезаем аксиально-симметричное течение в коаксиальном коническом канале вдоль образующей конической поверхности и разворачиваем его на плоскость, поэтому распределение скоростей в плоскостях, ограничивающих канал при $\varphi = 0$ и $\varphi = 2\pi\sin\alpha$, должно

совпадать с распределением скорости в плоскости диаметрального сечения с любым значением угла φ .

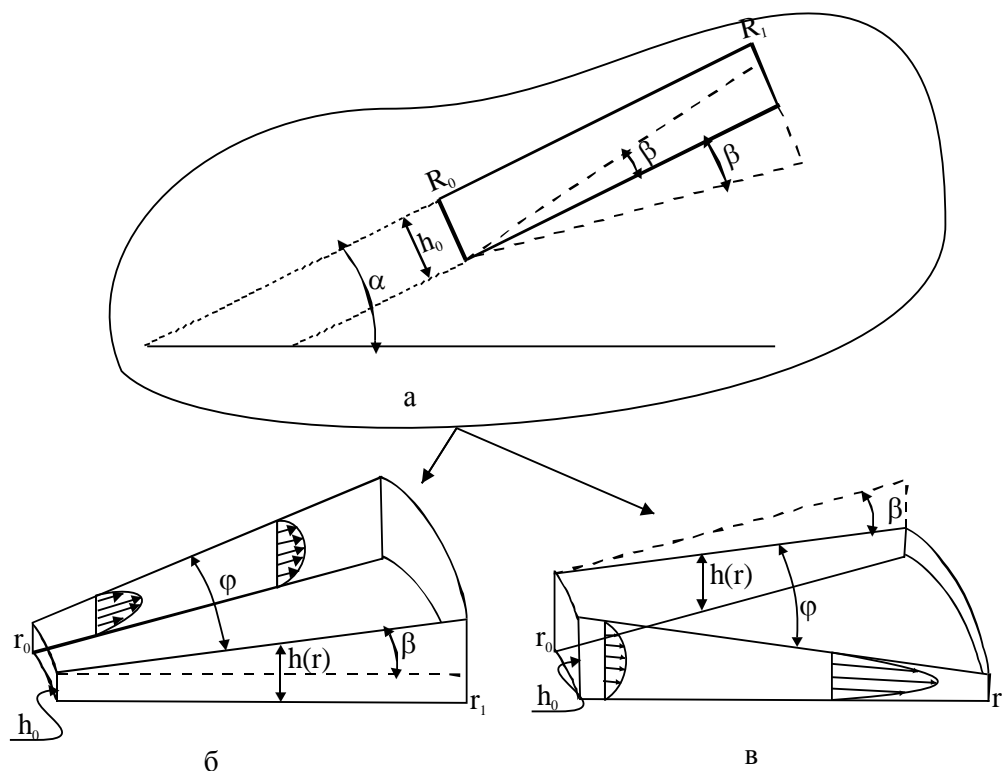


Рисунок 1 – Аппроксимация диффузорного течения в соосном коническом канале с переменной шириной вдоль течения с помощью течения в секториальном канале переменной ширины с плоскими границами: а) – продольный разрез соосного конического канала; h_0 – ширина входа в канал; R_0, R_1 – радиальная биконическая координата входа в канал и выхода из него; α – полуугол раскрытия внешней конической границы; β – разность между полууглами раскрытия внешней и внутренней конической поверхностями; б) – секториальный канал с плоскими границами, аппроксимирующий диффузорное течение в соосном коническом канале с увеличивающейся шириной вдоль течения; в) – геометрия канала, аппроксимирующего диффузорное течение в соосном коническом канале с уменьшающейся шириной вдоль канала; $h_0, h(r)$ – ширина канала на входе и текущая ширина; r_0, r_1 – радиальные цилиндрические координаты входа в канал и выхода из него; β – угол между плоскими границами; $\varphi = 2\pi \sin \alpha$ – угол разворота внешней границы соосного конического канала на плоскость

Для дальнейшего анализа течения воспользуемся оценками величины членов в уравнениях гидродинамики, которые мы проделали в работах [3, 4], т.е. будем рассматривать диффузорное течение в аппроксимирующем канале переменной ширины с пренебрежимо малыми числами Рейнольдса и при выполнении условия $V_z = o(V_r)$.

В этом случае аксиальносимметричное диффузорное течение несжимаемой жидкости в каналах, показанных на рис. 1, используя безразмерные координаты:

$$\xi = \frac{r}{h_0}; \chi = \frac{z}{h_0}; v = \frac{V}{V_0}; \Pi = \frac{(P - P_0)h_0}{\mu V_0}, \quad (1)$$

где

$$V_0 = \frac{Q}{2\pi r_0 h_0 \sin \alpha}, \quad (2)$$

V_0 – средняя скорость на входе в канал, будет описываться системой безразмерных уравнений:

$$\frac{\partial \Pi}{\partial \xi} = \frac{\partial^2 v}{\partial \chi^2}; \quad (3)$$

$$v = 0, \chi = 0; \quad (4)$$

$$v = 0, \chi = 1 + b(\xi - \xi_0); \quad (5)$$

$$\Pi = 0, \xi = \xi_0. \quad (6)$$

Безразмерная ширина канала определяется выражением:

$$\tilde{h}(\xi) = 1 + b(\xi - \xi_0), \quad (7)$$

а условие постоянства расхода запишется как:

$$\int_0^{1+b(\xi-\xi_0)} v d\chi = \frac{\xi}{\xi_0}. \quad (8)$$

В рассматриваемом случае параметр b – это тангенс угла между плоскостью, которая образует стенку канала, определяемую выражением $z = h(\xi)$ (рис. 1), сектором $2\pi \sin \alpha$, двумя координатами r_0 и r_1 и плоскостью параллельной стенке канала с координатой $z = 0$. Из геометрических соображений параметр b должен удовлетворять условию $b(\xi_1 - \xi_0) > -1$ или $b > \frac{1}{\xi_0 - \xi_1}$.

Площадь поперечного сечения рассматриваемых каналов будет определяться выражением:

$$S_f = 2\pi r [h_0 + b(r - r_0)] \sin \alpha, \quad (9)$$

что позволяет определить среднюю размерную скорость как:

$$\bar{V} = \frac{Q}{2\pi r [h_0 + b(r - r_0)] \sin \alpha}. \quad (10)$$

Мы также можем определить безразмерную площадь поверхности поперечного сечения канала, принимая за масштаб поверхности площадь поверхности поперечного сечения на входе в канал $S_0 = 2\pi r_0 h_0 \sin \alpha$

$$\tilde{s} = \frac{S_f}{S_0} = \frac{\xi [1 + b(\xi - \xi_0)]}{\xi_0}. \quad (11)$$

Тогда средняя по сечению канала безразмерная скорость определится как:

$$\bar{v} = \frac{\bar{V}}{V_0} = \frac{\xi_0}{\xi [1 + b(\xi - \xi_0)]} = \frac{1}{\tilde{s}}. \quad (12)$$

Интегрируя (3) с граничными условиями (4-6) и учитывая (8), получим решение, определяющее распределения скорости жидкости при диффузорном течении в секториальном канале переменной ширины:

$$v = -6 \frac{\xi_0}{\xi} \frac{\chi^2 - [1 + b(\xi - \xi_0)]\chi}{[1 + b(\xi - \xi_0)]^3}, \quad (13)$$

безразмерного градиента давления:

$$\frac{d\Pi}{d\xi} = -\frac{12}{[1 + b(\xi - \xi_0)]^3} \frac{\xi_0}{\xi} = -\frac{12\bar{v}}{[1 + b(\xi - \xi_0)]^2}, \quad (14)$$

и безразмерного давления:

$$\begin{aligned} \dot{\Pi}(\xi) = \frac{6\xi_0}{(1 - b\xi_0)^2} \left\{ \frac{2}{1 - b\xi_0} \ln \frac{\xi_0 [1 + b(\xi - \xi_0)]}{\xi} + \right. \\ \left. + 3 - b\xi_0 - \frac{3(1 - b\xi_0) + 2b\xi_0}{[1 + b(\xi - \xi_0)]^3} \right\}. \end{aligned} \quad (15)$$

Анализ особенностей диффузорного течения в секториальном канале переменной ширины

При анализе выражения (15) мы сразу замечаем, что оно при $\xi \rightarrow \infty$ имеет конечный предел:

$$\lim_{\xi \rightarrow \infty} \Pi(\infty) = \frac{6\xi_0}{(1 + b\xi_0)^2} \left(\frac{2}{1 - b\xi_0} \ln b\xi_0 + 3 - b\xi_0 \right), \quad (16)$$

т.е. перепад давления при диффузорном течении в секториальном канале увеличивающейся ширины и образованном плоскими границами является конечной величиной, какой бы длины этот канал не был. Этот результат качественно совпадает с результатом, полученным для диффузорного течения в соосном коническом канале переменной ширины [4], и существенно отличается от результата, полученного для диффузорного течения в плоском секториальном канале постоянной ширины [5], когда перепад давления стремится к $-\infty$ при $\xi \rightarrow \infty$, что аналогично распределению перепада давления при течении в прямолинейной трубе.

Течение в секториальном канале с линейно меняющейся шириной вдоль течения будет характеризоваться двумя параметрами ξ_0 и b . Проанализируем течение в секториальном канале с теми $\xi_0 = 10$, $b_1 = 0.087$ и $b_2 = -0.017$, что соответствует $\alpha = 15^\circ$, $\alpha_1 = 10^\circ$, $\alpha_2 = 16^\circ$ при течении в соосном коническом диффузоре.

Соотношения (12) показывают, что средняя безразмерная скорость является обратной величиной к безразмерной площади поперечного сечения. Для сравнения распределений средних безразмерных скоростей в каналах в одном масштабе воспользуемся множителем $2\xi_0/(2\xi_0 - \text{ctg}\alpha)$, переводящим значения скорости, полученные в работе

[4], в масштаб, выбранный в настоящей статье. Мы видим, что в соответствии с различием в площадях поперечных сечений каналов, средняя скорость в соосном канале вблизи входа в канал будет заметно выше, чем в плоском аппроксимирующем канале (рис. 2). Далее вдоль течения различие между средними скоростями v_c и v_f будет уменьшаться в соответствии с уменьшением различия в кривизне граничных поверхностей и площадях поперечных сечений конического и плоского каналов. Наибольшее относительное отклонение между средними скоростями наблюдается в канале с увеличивающейся шириной вдоль течения, а наименьшее – для канала с уменьшающейся шириной, что соответствует отклонению площадей поперечных сечений в этих каналах.

В каналах, ширина которых вдоль течения не уменьшается, т.е. при $b \geq 0$, средняя безразмерная скорость монотонно уменьшается в соответствии с монотонным увеличением площади поперечного сечения канала вдоль течения.

В случае течения в канале при $b < 0$ средняя скорость может иметь немонотонную зависимость от ξ . Значение координаты ξ , на которой находится минимальное значение средней безразмерной скорости, определим из условия $\frac{d\bar{v}}{d\xi} = 0$:

$$\xi_{\bar{v}_{\min}} = \frac{b\xi_0 - 1}{2b} = \frac{\xi_0}{2} - \frac{1}{2b}. \quad (17)$$

Отсюда определяем интервал значений параметра b , в котором зависимость $\bar{v}(\xi)$ является немонотонной в пределах канала из условия $\xi_{\bar{v}_{\min}} = \xi_1$:

$$b_{\bar{v}_1}^f = \frac{1}{\xi_0 - 2\xi_1}. \quad (18)$$

Очевидно, что минимально возможное значение b определяется соотношением ($b_{v_2} = \frac{1}{\xi_0 - \xi_1}$), и тогда интервалом значений b , в пределах которого $\bar{v}(\xi)$ будет немонотонной зависимостью, является интервал $[b_{\bar{v}_2}, b_{\bar{v}_1}^f]$.

Определим значение b , при котором минимальное значение \bar{v} может находиться вблизи входа в канал. Если мы положим $\xi_{\bar{v}_{\min}} = \xi_0$, то получим:

$$b_{\bar{v}_3}^f = -\frac{1}{\xi_0}, \quad (19)$$

и для рассматриваемого случая $b_{\bar{v}_3}^f = -0.1 < b_{\bar{v}_2}$, т.е. наше предположение невыполнимо. Но если далее положить $b_{\bar{v}_3}^f = b_{\bar{v}_2}$, мы найдем соотношение, при котором возможна локализация минимального значения средней скорости на входе в канал:

$$\xi_1 = 2\xi_0. \quad (20)$$

Используя соотношения (17) - (19), мы определим условия, при которых функция $\bar{v}(\xi)$ является монотонной в пределах канала. Очевидно, что средняя скорость бу-

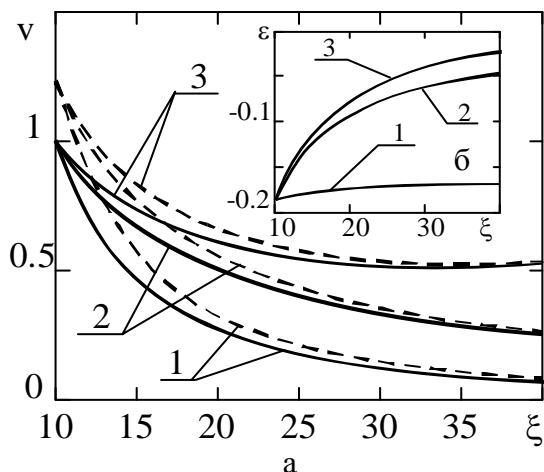


Рисунок 2 а) – распределение безразмерной средней скорости при диффузорном течении в соосном коническом канале. Сплошные линии для течения в аппроксимирующем секториальном канале с плоскими границами (рис. б1), штриховые для течения в канале, образованном коническими поверхностями при $\alpha = 15^\circ$. 1 – при течения с увеличивающейся шириной канала вдоль течения, $b = 0.087$; 2 – при течения в канале с постоянной шириной вдоль течения, $b = 0$; 3 – при течения в канале с уменьшающейся шириной канала, $b = -0.017$. б) – относительное отклонение между распределениями скоростей

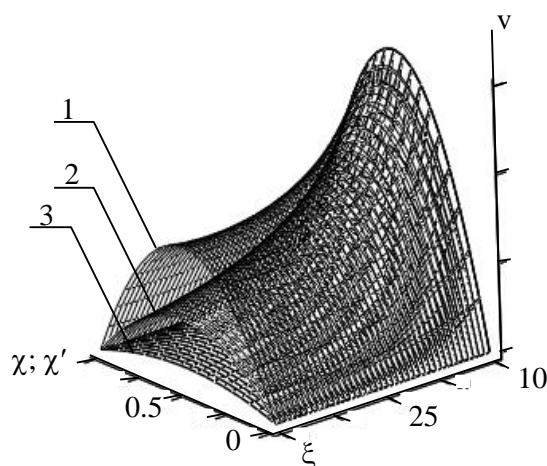


Рисунок 3 – Распределение безразмерной скорости при диффузорном течении в секториальном канале переменной ширины с плоскими границами. 1 – течение в канале с уменьшающейся шириной вдоль течения при $b = -0.017$; 2 – для течения в канале постоянной ширины; 3 – для течения в канале с увеличивающейся шириной при $b = 0.087$. χ' определяется преобразованием (21)

дет монотонно убывающей функцией вдоль течения при условии $b \geq b_{v_1}^f$, а монотонно возрастающей функцией при выполнении условий $b \leq b_{v_3}^f$ и $\xi_0 \geq \frac{1}{2} \xi_1$.

Понятно, что распределение средней скорости вдоль течения (рис. 2) представляет интегральную характеристику распределения скорости в канале (рис. 3). Здесь необходимо иметь в виду, что на рис. 3 для представления распределения скорости в канале с линейно изменяющейся шириной использована область определения ξ, χ' , связанная с безразмерными координатами ξ, χ изоморфным преобразованием:

$$\xi' = \xi, \chi' = \frac{\chi}{1 + b(\xi - \xi_0)}. \quad (21)$$

Распределение скорости поперек течения в каналах с неуменьшающейся шириной, оставаясь параболическим, монотонно уменьшается вдоль течения, а в канале с уменьшающейся шириной вдоль течения имеет седлообразный вид (рис. 3).

С распределением скорости жидкости поперек канала связано напряжение сдвига на его стенках, которое определяется скоростью сдвига на границах.

При течения в соосном коническом диффузоре с переменной шириной скорость сдвига на границах канала определится как:

$$\dot{\gamma}_\Gamma = \left. \frac{dv}{d\chi} \right|_{\chi = \frac{\chi_0}{1 + b_i(\xi - \xi_0)}} = \frac{6\xi_0}{\xi [1 + b_i(\xi - \xi_0)]^2}, \quad (22)$$

где $b_0 = 0$ – принимается для канала постоянной ширины. Если ширина канала вдоль течения уменьшается, т.е. $b < 0$, то распределение скорости сдвига на границе может иметь немонотонный характер (рис. 4). Действительно, при анализе течения с $b_2 = -0.017$ в начале течения, когда средняя скорость уменьшается (рис. 2), уменьшается и скорость сдвига на границе (рис. 4). На некотором расстоянии от входа $|\dot{\gamma}_r|$ достигает минимального значения, которое определим из условия $\frac{d\dot{\gamma}_r}{d\xi} = 0$:

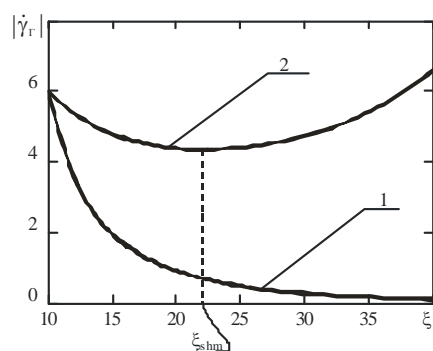


Рисунок 4 – Распределение модуля скорости сдвига на границах при диффузорном течении в секториальном канале переменной ширины с плоскими границами и безразмерной координатой входа, равной $\xi_0 = 10$.

1 – для течения в канале с увеличивающейся вдоль течения шириной при $b = 0.087$; 2 – для течения в канале с уменьшающейся шириной вдоль течения при $b = -0.017$. ξ_{shm} – значение безразмерной координаты, где достигается минимальное значение модуля скорости сдвига на границе при $b = -0.017$

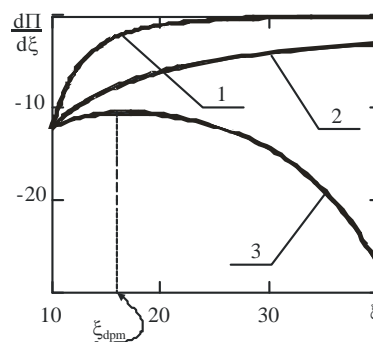


Рисунок 5 – Распределение безразмерного градиента давления вдоль диффузорного течения в секториальном канале: 1 – в канале с увеличивающейся шириной вдоль течения, $b = 0.087$; 2 – при течении в канале постоянной ширины; 3 – при течении в канале с уменьшающейся шириной, $b = -0.017$.

ξ_{dpm} – значение безразмерной координаты, на которой локализуется минимальное значение градиента давления при $b = -0.017$

$$\xi_{shm} = \frac{b\xi_0 - 1}{3b} = \frac{\xi_0}{3} - \frac{1}{3b}. \quad (23)$$

Также, как и для распределения средней скорости, наименьшее значение $|\dot{\gamma}_r|$ при уменьшении b сначала появится на выходе из канала, что позволяет определить значение b , при котором зависимость $\dot{\gamma}_r(\xi)$ становится немонотонной из условия $\xi_{shm} = \xi_1$:

$$b_{s_1}^f = \frac{1}{\xi_0 - 3\xi_1}. \quad (24)$$

Здесь необходимо заметить, что $b_{s_1}^f > b_{v_1}^f$, т.е. существует секториальные каналы, при течении в которых наблюдается немонотонная зависимость $\dot{\gamma}_r(\xi)$ при монотонной зависимости $\bar{v}(\xi)$. Минимально возможное значение величины b , очевидно, определяется выражением $b_{v_2} = 1/(\xi_0 - \xi_1)$ [4], т.е. диапазон изменения b , в котором зависимость $\dot{\gamma}_r(\xi)$ немонотонна, определяется интервалом $[b_{v_2}, b_{s_1}^f]$.

Заметим, что локализация минимума $\dot{\gamma}_r(\xi)$ возможна и на входе в канал. При этом выполняется равенство $\xi_{shm} = \xi_0$, откуда получаем:

$$b_{s_3}^f = -\frac{1}{2\xi_0}. \quad (25)$$

Но для того, чтобы было возможно нахождение минимального значения $\dot{\gamma}_r$ в точке $\xi = \xi_0$ необходимо также, чтобы выполнялось условие $b_{s_3}^f \geq b_{\bar{v}_2}$, откуда получаем связь между координатами для этого случая:

$$\xi_0 \leq \frac{1}{3}\xi_1. \quad (26)$$

Распределение безразмерного градиента давления при диффузорном течении в аппроксимирующем канале с плоскими границами также, как и при течении в соосном коническом канале полностью определяется распределением средней безразмерной скорости вдоль канала и его геометрией (13).

При значениях $b \geq 0$ $|\Pi'_\xi|$ уменьшается вдоль течения (рис. 5), т.к. уменьшается \bar{v} и увеличивается ξ (14). При отрицательных значениях b зависимость градиента давления вдоль течения может иметь немонотонный характер (рис. 5). В пределах некоторого отрезка длины канала вблизи входа скорость сдвига на стенках канала уменьшается до своего минимального значения (рис. 4), поэтому здесь уменьшается модуль напряжения сдвига, а значит и абсолютная величина градиента давления (рис 5). На некотором расстоянии от входа безразмерный градиент давления достигает значения минимального по абсолютной величине, и затем модуль его значения начинает увеличиваться (рис. 5). Локализацию экстремального значения градиента давления определим из условия $\Pi''_\xi = 0$:

$$\xi_{dpm} = \frac{b\xi_0 - 1}{4b}, \quad (27)$$

т.е. в два раза больше, чем $\xi_{\bar{v}_{min}}$.

Из (27), находим соотношение между параметрами, определяющими решение задачи, при котором безразмерный градиент давления будет монотонно возрастающей функцией координаты ξ в пределах канала. Для этого необходимо выполнение условия $\xi_{dpm} \geq \xi_1$, откуда получаем:

$$b \geq \frac{1}{\xi_0 - 4\xi_1}. \quad (28)$$

Для того, чтобы функция $\Pi'_\xi(\xi)$ была монотонно убывающей, очевидно, необходимо выполнение условия $\xi_{dpm} \leq \xi_0$, откуда получаем:

$$b \leq -\frac{1}{3\xi_0}. \quad (29)$$

Вместе с (29), очевидно, тоже необходимо выполнение условия $b \geq b_{\bar{v}_2}$, откуда имеем:

$$\xi_0 \leq \frac{1}{4}\xi_1. \quad (30)$$

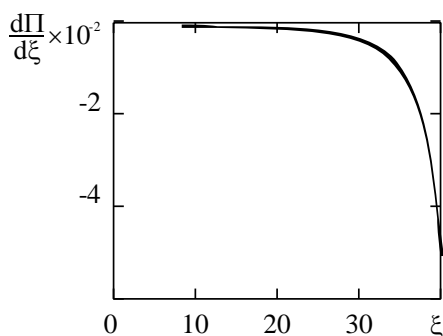


Рисунок 6 – Распределение безразмерного градиента давления при диффузорном течении жидкости в секториальном канале с уменьшающейся шириной вдоль течения и параметрами $\xi_0 = 8$, $\xi_1 = 40$, $b = -0.02619$

Условия (28) и (30), например, выполняются для параметров $\xi_0 = 8$; $\xi_1 = 40$; $b = -0.02619$, вследствие чего безразмерный градиент давления является монотонно убывающей функцией (рис. 6). Заметим, что функции $\bar{v}(\xi)$ и $\dot{\gamma}_r(\xi)$ в этом случае немонотонны (рис. в.17).

Сравнивая (30) с (26), мы видим, что существуют секториальные каналы, в которых при монотонной функции $\dot{\gamma}_r(\xi)$ зависимость $\Pi'_\xi(\xi)$ будет немонотонна.

Из соотношения (28) получаем условие, при котором зависимость безразмерного градиента давления от координаты ξ будет немонотонной в пределах канала:

$$\frac{1}{\xi_0 - \xi_1} \leq b \leq \frac{1}{\xi_0 - 4\xi_1}. \quad (31)$$

Распределение безразмерного давления вдоль канала (рис. 6) определяется распределением его градиента. При $b > 0$ безразмерный градиент давления уменьшается и за координатой $\xi = 30$ стремится к 0, поэтому безразмерное давление, достигнув некоторой величины, далее практически не изменяется и стремится к своему значению, определяемому выражением (16).

В случае течения с уменьшающейся шириной канала зависимость $\Pi(\xi)$ имеет точку перегиба на координате ξ_{dpm} . До этой координаты $\Pi(\xi)$ выпукла вниз и характер изменения безразмерного давления такой же, как и при $b > 0$ или $b = 0$ (рис. 6). За этой координатой $\Pi(\xi)$ становится выпуклой вверх, и с изменением ξ на одинаковую величину приращение Π будет возрастать (рис. 8).

Давайте сравним результаты, получаемые с помощью решения, выполненного для диффузорного течения в соосном коническом канале переменной ширины [3, 4] с результатами, полученными для аппроксимирующего канала.

Рассмотрим распределение безразмерного давления в канале, ограниченном координатами $\xi_0 = 10$, $\xi_1 = 40$ в зависимости от угла раскрытия внешней конической поверхности ($\chi = 0$) и от параметра b . Но сначала необходимо выразить результаты в едином масштабе с масштабным множителем, независимым от угла раскрытия конических поверхностей. Для этого за масштаб скорости выберем величину $Q/\pi h_0^2$, тогда выражение для вычисления безразмерного давления при диффузорном течении в соосном коническом канале [4] запишется как:

$$\begin{aligned} \ddot{I}_{\bar{n}}^* = & \frac{6}{(1 - b\xi_0) \sin \alpha} \left\{ \frac{(bctg\alpha - 2)^2}{4(1 - b\xi_0)} \ln \frac{[1 + b(\xi - \xi_0)](ctg\alpha - 2\xi_0)}{[1 + b(\xi - \xi_0)]ctg\alpha - 2\xi_0} + \right. \\ & \left. + \frac{b\{\xi - \xi_0\}}{2[1 + b(\xi - \xi_0)]} \left[\frac{2 - bctg\alpha}{1 - b\xi_0} + \frac{2 + b(\xi - \xi_0)}{1 + b(\xi - \xi_0)} \right] \right\}, \quad (32) \end{aligned}$$

а при диффузорном течении в аппроксимирующем канале (15) запишется в виде:

$$\Pi_f^* = \frac{\Pi(\xi)}{2 \sin \alpha} \quad (33)$$

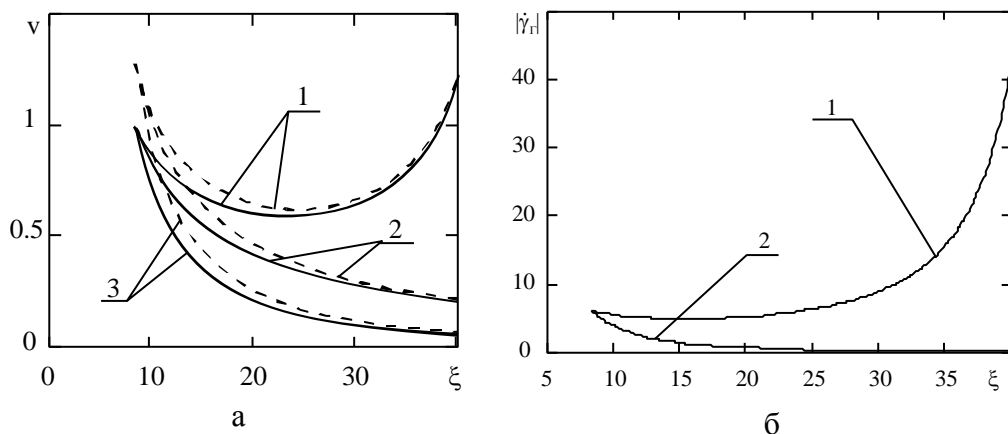


Рисунок 7 – а) Распределение безразмерной средней скорости при диффузорном течении в соосном коническом канале с параметрами: $\xi_0 = 83$, $\xi_1 = 40$, $\alpha = 15^\circ$ – сплошные линии, штриховые линии для распределения средней безразмерной скорости в секториальном канале, аппроксимирующем соосный конический канал; б) распределение модуля скорости сдвига на границах канала; 1 – течение при $b = -0.02619$; 2 – $b = 0$; 3 – $b = 0.087$

Распределение этих величин показано на рисунке 9. Визуально их значения достаточно близки, но относительное отклонение Π_f^* от Π_c^* может достигать величины, большей 30 %. Наибольшее отличие наблюдается при малом угле раскрытия внешней конической поверхности ($\chi = 0$) и наибольших положительных значениях параметра b , т.е. в тех случаях, когда существует наибольшее различие в площади поперечных сечений каналов вследствие малых радиусов кривизны у конических границ.

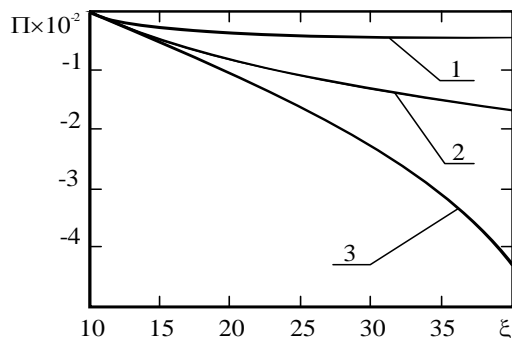


Рисунок 8 – Распределение безразмерного давления при диффузорном течении в секториальном канале с безразмерной координатой входа $\xi_0 = 10$: 1 – в канале с увеличивающейся шириной, $b = 0.087$; 2 – в канале с постоянной шириной вдоль течения, $b = 0$; 3 – в канале с уменьшающейся шириной вдоль течения, $b = -0.0175$

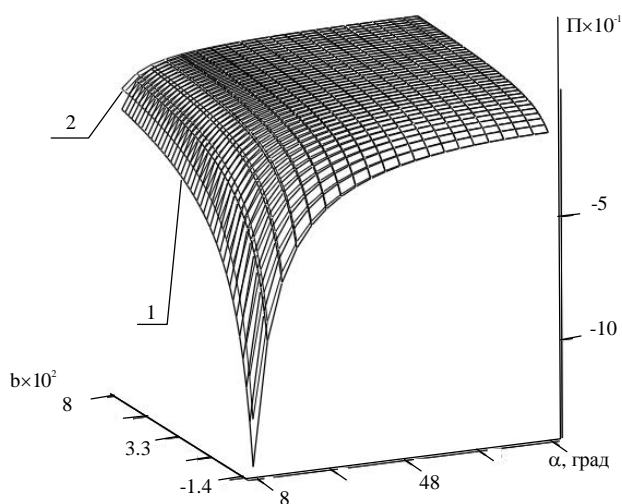


Рисунок 9 – Распределение безразмерного давления при диффузорном течении в соосном коническом канале – 1 и аппроксимирующем секториальном канале – 2 в зависимости от полуугла раскрытия внешней конической поверхности – α и параметра b . Канал характеризуется координатами: $\xi_0 = 10$, $\xi_1 = 40$

Площадь поперечного сечения соосного конического канала всегда меньше площади сечения аппроксимирующего канала для одинаковых значений ξ , поэтому средняя скорость будет выше здесь (рис. 2). Распределение безразмерной скорости по всему поперечному сечению будет выше, чем в аппроксимирующем канале, а значит, в коническом приближении будет больше и модуль скорости сдвига на границах канала и, как следствие, перепад безразмерного давления Π_c^* больше, чем Π_r^* для всего диапазона определяющих параметров (рис. 9).

Заключение

В работе получено решение задачи ламинарного диффузорного течения в секториальном канале. Проведено сравнение полученного решения с решением, полученным ранее для течения в соосном коническом канале, который может быть аппроксимирован секториальным каналом. Определены параметры задачи, при которых наблюдается наибольшее расхождение в решениях. Полученные результаты используются для расчета формующего оборудования.

Обозначения

h – ширина канала, м; P, P_0 – давление текущее и на входе, Па; Q – объёмный расход, м³/с; r, r_0, r_1 – координата радиальная, выхода из канала и входа в него, м; V – скорость, м/с; α – половина угла внешней конической поверхности, рад; Z – поперечная цилиндрическая координата, м.

Литература

1. Ульев Л.М. Медленные течения в коаксиальных конических каналах // Вестник ХГПУ. Механика. Машиностроение. Харьков, ХГПУ.– 1997. Вып. 7. Ч. 2. С. 22-31.
2. Ульев Л.М. Медленные течения между соосными коническими поверхностями // ИФЖ.– 1998. Т. 71, №. 6. С. 1092-1098.
3. Ульев Л.М. Медленные течения в коаксиальных конических щелях переменной ширины // Вестник ХГПУ.– 1999. Вып. 34. С. 3-8.
4. Ульев Л.М. Ламинарное диффузорное течение в соосном коническом канале переменной ширины с частичным учетом сил инерции // Вестник ХГПУ.– 2003. Вып. 17. С. 143-153.
5. Ульев Л.М. Ламинарное диффузорное течение в секториальном канале постоянной ширины с частичным учетом инерционных свойств// Вестник ХГПУ.– 2003. Вып. 11, № 2. С. 143-153.

УДК 532.5; 678.027

Ульев Л.М.

ОСОБЛИВОСТІ ЛАМІНАРНОЇ ТЕЧІЇ У СЕКТОРІАЛЬНОМУ ДИФУЗОРІ З ЗМІННОЮ ШИРИНОЮ ВЗДОВЖ КАНАЛУ

Одержано рішення задачі ламінарної дифузornoї течії у секторіальному каналі. Отримано вирази для розрахунку розподілу швидкості та перепаду тиску у каналі. Виконано порівняння отриманого рішення з рішенням, вилученим для течії у співвісному конічному дифузорі. Визначено параметри задачі, при яких спостерігається найбільша розбіжність у рішеннях. Результати використовуються для розрахунку формуючого обладнання.